

Санкт-Петербургский государственный университет

Кафедра системного программирования

Ковалев Дмитрий Александрович

Синтаксический анализ данных,
представленных в виде
контекстно-свободной грамматики

Выпускная квалификационная работа

Научный руководитель:
к. ф.-м. н., доц. Григорьев С. В.

Рецензент:
программист НИУ ИТМО Авдюхин Д. А.

Санкт-Петербург
2017

SAINT PETERSBURG STATE UNIVERSITY

Chair of Software Engineering

Dmitry Kovalev

Parsing data represented as context-free grammar

Graduation Project

Scientific supervisor:
associate professor Semyon Grigorev

Reviewer:
Programmer at ITMO University Avdiukhin Dmitrii

Saint-Petersburg
2017

Оглавление

Введение	4
1. Постановка задачи	6
2. Обзор	7
2.1. Рекурсивные автоматы и КС-грамматики	7
2.2. GLL-алгоритм и его модификации	8
2.2.1. Оригинальный GLL-алгоритм	8
2.2.2. Поддержка грамматик в EBNF	9
2.2.3. Синтаксический анализ графов	10
2.3. Проект YaccConstructor	11
3. Разрешимость задачи синтаксического анализа контекстно-свободного представления	12
4. Алгоритм синтаксического анализа контекстно-свободного представления	14
5. Экспериментальное исследование	18
Заключение	20
Список литературы	21
Приложение	23

Введение

Контекстно-свободные грамматики, наряду с регулярными выражениями, активно используются для решения задач, связанных с разработкой формальных языков и синтаксических анализаторов. Одним из основных достоинств контекстно-свободных грамматик является возможность задания широкого класса языков при сохранении относительной компактности представления. Благодаря данному свойству, грамматики также представляют интерес в такой области информатики, как кодирование и сжатие данных. В частности, существует ряд алгоритмов, позволяющих производить сжатие текстовой информации, используя в качестве конечного [7] или промежуточного [2] представления контекстно-свободную грамматику (grammar-based compression).

Стандартной процедурой при работе с текстовыми данными является поиск в них определенных шаблонов, которые могут быть заданы строкой или регулярным выражением. В настоящее время большие объемы информации, как правило, хранятся и передаются по сети в сжатом виде, поэтому актуальной задачей становится поиск шаблонов непосредственно в компактном контекстно-свободном представлении текста. Такой подход позволяет избежать дополнительных затрат памяти на восстановление исходной формы данных и в некоторых случаях увеличивает скорость выполнения запроса. Шаблон здесь может быть, как и при поиске в обычном тексте, строкой (compressed pattern matching), сжатой строкой (fully compressed pattern matching) или регулярным выражением.

Известны ситуации, в которых для задания шаблона необходимо использовать более выразительные средства. Примером может служить одна из задач биоинформатики — поиск определенных подпоследовательностей в геноме организма. Так, для классификации и исследования образцов, полученных в результате процедуры секвенирования, в них могут искать гены, описывающие специфические рРНК. Структура таких генов, как правило, задается при помощи контекстно-свободной грамматики [8]. Для уменьшения объемов памяти, необходимых для

хранения большого количества геномов, используются различные алгоритмы сжатия, в том числе основанные на получении контекстно-свободной структуры исходных последовательностей [3].

Задача поиска КС-шаблонов при использовании КС-представления данных формулируется следующим образом: необходимо найти все строки, принадлежащие пересечению двух языков, один из которых задается грамматикой шаблона, а второй представляет собой язык всех подстрок исходного множества строк, описываемого грамматикой, полученной в результате сжатия данных. Назовем такой поиск *синтаксическим анализом данных, представленных в виде КС-грамматики*. В общем случае задача неразрешима, так как сводится к задаче о проверке пересечения двух языков, порождаемых произвольными КС-грамматиками, на пустоту [5]. Для постановки экспериментов в области биоинформатики необходимо точнее исследовать возможность проведения синтаксического анализа КС-представления и разработать прототип алгоритма, позволяющего решить данную задачу.

1. Постановка задачи

Целью данной работы является разработка алгоритма синтаксического анализа данных, представленных в виде контекстно-свободной грамматики. Для ее достижения были поставлены следующие задачи.

- Определить ограничения, при которых синтаксический анализ контекстно-свободного представления является разрешимой задачей.
- Разработать алгоритм синтаксического анализа КС-представления данных с учетом поставленных ограничений.
- Реализовать предложенный алгоритм.
- Провести экспериментальное исследование.

2. Обзор

В данной работе используется понятие *рекурсивного автомата* [11] — удобного представления произвольной контекстно-свободной грамматики. Описание этой абстракции приводится в первом параграфе обзора.

Предлагаемый в работе алгоритм основан на алгоритме синтаксического анализа регулярных множеств, который, в свою очередь, является модификацией алгоритма обобщенного синтаксического анализа Generalized LL (GLL, [9]). Об этих алгоритмах и о проекте, в рамках которого проведена разработка предложенного решения, также будет рассказано в обзоре.

2.1. Рекурсивные автоматы и КС-грамматики

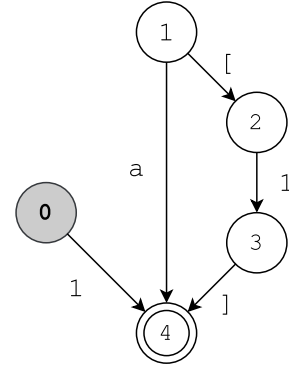
Введем понятие рекурсивного автомата, которое потребуется для дальнейшего изложения.

Определение 1. Рекурсивный автомат R — это кортеж $(\Sigma, Q, \delta, q_0, q_f)$, где Σ — конечное множество терминальных символов, Q — конечное множество состояний автомата, $\delta : Q \times (\Sigma \cup Q) \rightarrow 2^Q$ — функция переходов, $q_0 \in Q$ — начальное состояние, q_f — конечное состояние.

Можно заметить, что данное определение практически идентично определению стандартного конечного автомата. Единственное отличие состоит в том, что метками на ребрах рекурсивного автомата могут быть как терминальные символы (терминальные переходы), так и состояния (нетерминальные переходы). Класс рекурсивных автоматов обладает такой же выразительностью, как и контекстно-свободные грамматики, т.е. позволяет описать любой контекстно-свободный язык. Более того, грамматика тривиальным образом может быть преобразована в рекурсивный автомат (обратное тоже верно) [11]. Пример рекурсивного автомата, построенного по грамматике, можно увидеть на рис. 1.

$$\begin{aligned}
S' &::= S \\
S &::= [S] \\
S &::= a
\end{aligned}$$

(a) Грамматика G_1



(b) Рекурсивный автомат для G_1

Рис. 1: КС-грамматика и эквивалентный ей рекурсивный автомат

2.2. GLL-алгоритм и его модификации

Классические алгоритмы нисходящего и восходящего синтаксического анализа предполагают использование грамматики, которая является в достаточной мере однозначной. В противном случае, управляющие таблицы анализаторов содержат конфликты, из-за чего нельзя гарантировать корректное поведение на любых входных данных. Для работы с сильно неоднозначными грамматиками используются алгоритмы *обобщенного синтаксического анализа*, которые позволяют рассмотреть все возможные пути разбора строки и построить соответствующие деревья вывода. Поиск шаблонов не требует наличия деревьев вывода, поэтому в дальнейшем алгоритмы синтаксического анализа рассматриваются только как механизм, позволяющий определить принадлежность строки языку.

2.2.1. Оригинальный GLL-алгоритм

Generalized LL (GLL) — алгоритм, обобщающий идеи нисходящего синтаксического анализа. GLL, в отличие от стандартных алгоритмов LL-класса, позволяет использовать для анализа произвольную контекстно-свободную грамматику, в том числе содержащую леворекурсивные правила. Вместе с тем, GLL наследует такие полезные свойства алгоритмов нисходящего анализа, как непосредственная связь с грамматикой и простота отладки и диагностики ошибок.

Для обработки неоднозначностей GLL разделяет стек анализатора на несколько ветвей, каждая из которых соответствует возможному пути разбора. При таком подходе необходимо компактное представление множества стеков, в качестве которого выступает Graph Structured Stack (GSS). В работе [1] была представлена модификация GSS, которая позволяет увеличить эффективность GLL-анализа. Вершины такого представления хранят в себе номер нетерминала и позицию в строке, с которой начался разбор подстроки, соответствующей ему. На ребрах хранятся позиции в грамматике (вида $X \rightarrow \alpha A \cdot \beta$), на которые необходимо вернуться после завершения разбора нетерминала.

Основной идеей GLL является использование *дескрипторов*, позволяющих полностью описывать состояние анализатора в текущий момент времени.

Определение 2. Дескриптор — это тройка (L, u, i) , где:

- L — текущая позиция в грамматике вида $A \rightarrow \alpha \cdot \beta$;
- u — текущая вершина GSS;
- i — позиция во входном потоке.

В процессе работы поддерживается глобальная очередь дескрипторов. В начале каждого шага исполнения алгоритм берет следующий в очереди дескриптор и производит действия в зависимости от позиции в грамматике и текущего входного символа, передвигая соответствующие указатели. При наличии конфликтов в грамматике алгоритм добавляет дескрипторы для каждого возможного пути анализа в конец очереди.

2.2.2. Поддержка грамматик в EBNF

В работе [4] была описана модификация GLL, которая позволяет использовать грамматики, записанные в расширенной форме Бэкуса-Наура (EBNF). Грамматика такого вида трансформируется в соответствующий рекурсивный автомат, в котором затем минимизируется количество состояний. Синтаксический анализ производится без построения управляющих таблиц: алгоритм обходит рекурсивный автомат в

соответствии со входным потоком символов. При обработке текущего дескриптора (C_S, C_U, i) , где C_S — вершина автомата (эквивалент позиции в грамматике), C_U — вершина GSS, i — позиция в строке, могут возникать следующие ситуации.

- C_S — финальное состояние. Показывает, что разбор текущего нетерминала завершен. Необходимо осуществить возврат из C_U по меткам на исходящих из нее ребрах.
- Присутствует нетерминальный переход из C_S . В данном случае необходимо начать разбор указанного нетерминала X . Для этого в GSS должна быть создана новая вершина (X, i) , если таковой не было ранее, а текущая вершина автомата изменена на стартовую для X .
- Присутствует терминальный переход из C_S . Необходимо сравнить терминал на ребре автомата с текущим входным символом. Если они совпадают, то осуществить переход в вершину автомата, на которую указывает ребро, и передвинуть указатель в строке.

За счет уменьшения количества состояний в автомате удастся достичь прироста в производительности по сравнению со стандартным GLL-алгоритмом.

2.2.3. Синтаксический анализ графов

Стандартными входными данными для алгоритмов синтаксического анализа являются линейные последовательности токенов. На основе GLL был разработан алгоритм, который позволяет производить синтаксический анализ регулярных множеств строк, представленных в виде конечного автомата (который, в свою очередь, является ориентированным графом с токенами на ребрах).

Поддержка нелинейного входа не потребовала существенных изменений в оригинальном алгоритме. Дескрипторы модифицированного алгоритма хранят номер вершины входного графа вместо позиции в

строке. Также, на шаге исполнения просматривается не единственный текущий символ, а множество символов на ребрах, исходящих из текущей вершины.

Производительность данного алгоритма, как и обычного GLL, может быть увеличена при помощи представления входной грамматики в виде рекурсивного автомата. В таком случае, алгоритм будет производить обход двух автоматов — рекурсивного и конечного. Ситуации, возникающие при обработке дескрипторов, не отличаются от описанных ранее ситуаций для линейного входа. Псевдокод данной модификации приведен в приложении. Рассматривается вариант без построения деревьев вывода, алгоритм возвращает длины корректных цепочек, порождаемых автоматом.

2.3. Проект YaccConstructor

YaccConstructor [12] — исследовательский проект лаборатории языковых инструментов JetBrains на математико-механическом факультете СПбГУ, направленный на исследования в области лексического и синтаксического анализа. Проект включает в себя одноименную модульную платформу для разработки лексических и синтаксических анализаторов, содержащую большое количество компонент: язык описания грамматик YARD, преобразования над грамматиками и др. Основным языком разработки является F#.

Ранее в рамках YaccConstructor были реализованы генераторы GLL-анализаторов, описание которых было приведено в данном обзоре.

3. Разрешимость задачи синтаксического анализа контекстно-свободного представления

Как было сказано ранее, задачу поиска шаблона, при условии, что и шаблон, и данные, в которых осуществляется поиск, представлены контекстно-свободными грамматиками, мы назовем синтаксическим анализом контекстно-свободного представления. В данном разделе определяются ограничения, при которых подобная задача разрешима.

Для доказательства предложений, сформулированных далее, используется следующая теорема [6].

Теорема 1 (Nederhof, Satta). *Пусть G_1 — произвольная контекстно-свободная грамматика, G_2 — грамматика, которая не содержит непосредственной или скрытой рекурсии. Тогда проблема проверки пустоты пересечения языков, порождаемых данными грамматиками, относится к классу $PSPACE$ -complete.*

Рассмотрим случай, когда грамматика данных задает ровно одну строку. Пусть G_t — произвольная КС-грамматика, задающая шаблоны для поиска, а G_d — КС-грамматика, которая не содержит непосредственной или скрытой рекурсии. $L(G_t)$ и $L(G_d)$ — языки, порождаемые грамматиками, при этом $L(G_d) = \{\omega\}$, где ω — исходные данные, к которым был применен алгоритм сжатия. Необходимо определить, существуют ли такие строки ω' , что $\omega' \in L(G_t)$ и ω' — подстрока ω .

Предложение 1. *При выполнении описанных условий задача синтаксического анализа КС-представления разрешима.*

Доказательство. Пользуясь эквивалентностью представлений, можно записать грамматику G_d в виде рекурсивного автомата R_d . Рассмотрим рекурсивный автомат $R_{i,j}$, полученный из R_d путем замены стартового состояния на $i \in Q(R_d)$ и назначения терминирующего (финального, из которого не могут быть совершены переходы) состояния $j \in Q(R_d)$. Такой автомат описывает грамматику, которая является представлением

некоторой подстроки ω . Рассмотрев все возможные пары i и j , получаем конечное множество грамматик, для каждой из которых необходимо проверить, содержится ли строка, порождаемая ей, в языке $L(G_t)$. Согласно теореме 1, такая проверка является разрешимой задачей и принадлежит к классу PSPACE-complete. \square

Отдельно отметим, что для описанных процедур используется лишь исходный автомат, эквивалентный грамматике G_d . Условия задачи поиска шаблонов непосредственно в контекстно-свободном представлении, таким образом, выполняются. Верна также разрешимость более общей задачи.

Предложение 2. Пусть грамматика G_d задает конечное множество строк $L(G_d) = \{\omega_1, \dots, \omega_n\}$. Необходимо определить, существуют ли строки ω' , для которых верно: $\omega' \in L(G_t)$ и ω' — подстрока одной из строк $\omega_i \in L(G_d)$. Данная задача разрешима и принадлежит классу PSPACE-complete.

Доказательство. Как и в предыдущем доказательстве, используем запись грамматики в виде рекурсивного автомата R_d и рассмотрим автоматы $R_{i,j}$. В данном случае каждый из этих автоматов представляет собой грамматику, которая порождает некоторое конечное множество подстрок исходных строк из $L(G_d)$. Проверка пустоты пересечения такой грамматики с G_t также соответствует условиям теоремы 1. \square

В случае, когда грамматика G_d представляет собой бесконечный регулярный язык (т.е. содержит левую и/или правую рекурсию), разрешимость задачи поиска шаблонов установить не удастся. Подход, использованный ранее в доказательстве предложений, не может быть применен, так как части рекурсивного автомата, представляющего грамматику G_d , также могут содержать рекурсивные переходы, что выходит за рамки условия теоремы 1. Проверка разрешимости и определение класса сложности задачи проверки пустоты пересечения произвольной и регулярной КС-грамматик в настоящее время остаются открытыми проблемами [6].

4. Алгоритм синтаксического анализа контекстно-свободного представления

Разработанный алгоритм расширяет подход к синтаксическому анализу графов на основе GLL. На вход алгоритм принимает два рекурсивных автомата, RA_1 и RA_2 , построенных по исходным грамматикам G_1 и G_2 соответственно, где G_1 — произвольная контекстно-свободная грамматика, а G_2 , исходя из ограничений разрешимости задачи, — грамматика, не содержащая непосредственной или скрытой рекурсии.

Алгоритм производит обход автоматов, рассматривая три типа ситуаций (финальное состояние, терминальный/нетерминальный переходы) для каждого из их состояний. Автомат, состояние которого обрабатывается в данный момент, будем называть *основным*; другой автомат из пары назовем *побочным*.

Оригинальный алгоритм синтаксического анализа графов использует один GSS, необходимый для правильного обхода рекурсивного автомата, который является представлением эталонной грамматики. Для работы с двумя рекурсивными автоматами требуется поддерживать одновременно два стека, GSS_1 и GSS_2 . При этом используется модификация GSS с измененной структурой вершин: здесь они представляют собой тройку (S, i, u) , где:

- S — нетерминал;
- i — состояние побочного автомата;
- u — вершина стека побочного автомата.

Пара (i, u) описывает состояние обхода побочного автомата на момент начала разбора нетерминала S . В оригинальном алгоритме достаточно было сохранять в вершине GSS лишь состояние входного автомата, так как подразумевалось, что данный автомат относится к классу конечных и для его обхода не используется стек.

Дескрипторы, которые использует разработанный алгоритм, также отличаются от представленных ранее. Для описания процесса анализа в

определенный момент времени теперь необходимо указывать вершины GSS для обоих автоматов. Получаем дескриптор вида (S_1, S_2, u_1, u_2) , где S_1, S_2 — состояния автоматов, а u_1, u_2 — вершины соответствующих стеков. Функции **add**, **create** и **pop** были изменены в соответствии с новыми определениями дескрипторов и вершин GSS.

Algorithm 1 Функции для работы с GSS и дескрипторами

```

function ADD( $S_1, S_2, u_1, u_2$ )
  if  $((S_1, S_2, u_1, u_2) \notin U)$  then
     $U.add(S_1, S_2, u_1, u_2)$ 
     $R.enqueue(S_1, S_2, u_1, u_2)$ 

function CREATE( $S_{call}, S_{next}, u, S_i, w$ )
   $A \leftarrow \Delta(S_{call})$ 
  if  $(\exists \text{ GSS node labeled } (A, i, w))$  then
     $v \leftarrow \text{GSS node labeled } (A, i)$ 
    if (there is no GSS edge from  $v$  to  $u$  labeled  $S_{next}$ ) then
      add GSS edge from  $v$  to  $u$  labeled  $S_{next}$ 
    for  $((v, j) \in P)$  do
      if ( $S_{next}$  is a final state) then
        POP( $u, j, w$ )
        ADD( $S_{next}, S_i, u, w$ )
  else
     $v \leftarrow \text{new GSS node labeled } (A, i, w)$ 
    create GSS edge from  $v$  to  $u$  labeled  $S_{next}$ 
    ADD( $S_{call}, S_i, v, w$ )

function POP( $u, S_i, w$ )
  if  $((u, i) \notin P)$  then
     $P.add(u, i)$ 
  for all GSS edges  $(u, S, v)$  do
    if ( $S$  is a final state) then
      POP( $v, S_i, w$ )
      ADD( $S, S_i, v, w$ )

```

Обработка терминальных и нетерминальных переходов, а также финальных состояний автомата была вынесена из главного цикла алгоритма в отдельную функцию, которая вызывается для каждого из автоматов.

Algorithm 2 Функция для обработки состояния рекурсивного автомата

```

function HANDLESTATE( $RA, context$ )
     $S_1, S_2, u_1, u_2 \leftarrow$  get values for  $RA$  from the  $context$ 
    if ( $S_1$  is a final state) then
        POP( $u_1, S_2, u_2$ )
    for each  $transition(S_1, label, S_{next})$  do
        switch  $label$  do
            case  $Terminal(x)$ 
                for each ( $input[i] \xrightarrow{x} input[k]$ ) do
                    if ( $S_{next}$  is a final state) then
                        POP( $u_1, k, u_2$ )
                    if  $S_{next}$  have multiple ingoing transitions then
                        ADD( $S_{next}, k, u_1, u_2$ )
                    else
                         $R.enqueue(S_{next}, k, u_1, u_2)$ 
            case  $Nonterminal(S_{call})$ 
                CREATE( $S_{call}, S_{next}, u_1, S_2, u_2$ )

```

Основная управляющая функция алгоритма, содержащая цикл обработки дескрипторов, представлена в листинге 3. Необходимо отметить, что для поиска шаблонов-подстрок обход автомата RA_2 запускается из каждой его вершины. Соответствующие стартовые дескрипторы создаются перед входом в цикл.

Algorithm 3 Алгоритм синтаксического анализа КС-представления

```
function PARSE( $RA_1, RA_2$ )  
  for each  $q \in RA_2.States$  do  
     $v1, v2 \leftarrow (RA_1.StartState, q, \$), (q, RA_1.StartState, \$)$   
    add  $v1$  to  $GSS_1$ ,  $v2$  to  $GSS_2$   
     $R.enqueue(RA_1.StartState, q, v1, v2)$   
  while  $R \neq \emptyset$  do  
     $currentContext \leftarrow R.dequeue()$   
    HANDLESTATE( $RA_1, currentContext$ )  
    HANDLESTATE( $RA_2, currentContext$ )  
   $result \leftarrow \emptyset$   
  for each  $(u, i) \in P$  where  $u = GSS_1.Root$  do  
     $result.add(i)$   
  if  $result \neq \emptyset$  then return  $result$   
  else report failure
```

Результатом работы алгоритма являются пары вида (n_1, n_2) , где n_1, n_2 — номера состояний автомата RA_2 . Для каждой из таких пар выполняется следующее утверждение: $\exists \omega \in T^*$ такая, что $\omega \in L(G_1)$ и $\omega \in L(RA')$, где RA' — рекурсивный автомат, полученный из RA_2 путем замены начального и конечного состояний на n_1 и n_2 соответственно.

5. Экспериментальное исследование

Предложенный алгоритм был реализован на платформе .NET как часть исследовательского проекта YaccConstructor. Основным языком разработки являлся F#. Был переиспользован генератор рекурсивных автоматов, реализованный ранее в рамках работы [4]. Также были переиспользованы структуры данных для представления структурированного в виде графа стека.

Для проверки работоспособности и оценки производительности алгоритма был проведен ряд тестов. В качестве представления шаблонов для поиска была выбрана грамматика G_1 , задающая язык правильных скобочных последовательностей. Входные данные, в которых осуществлялся поиск, создавались следующим образом.

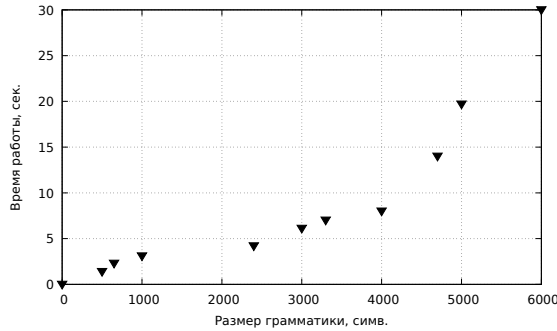
1. Из символов латинского алфавита генерировалась последовательность определенной длины, содержащая ровно пять подстрок, удовлетворяющих грамматике G_1 .
2. Последовательность сжималась в контекстно-свободную грамматику при помощи алгоритма Sequitur [7, 10].
3. Описание полученной грамматики транслировалось в язык YARD, используемый в проекте YaccConstructor.

В каждом тесте из серии алгоритм корректно определял наличие шаблонов, получая пять пар вершин рекурсивного автомата, построенного по входной грамматике.

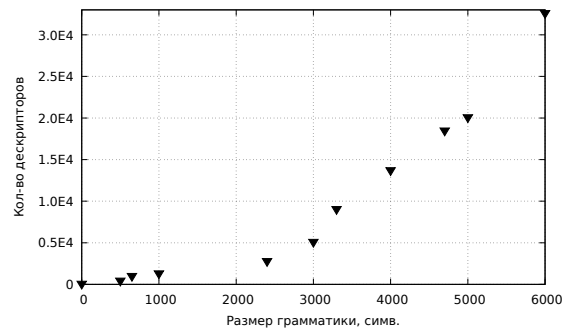
Оценка производительности заключалась в измерении времени работы алгоритма и количества создаваемых дескрипторов (рис. 2), а также объема используемой памяти, выраженного в количестве вершин и ребер GSS, построенных в процессе анализа (рис. 3). Тестирование проводилось при различных размерах входной грамматики данных. Размером грамматики $G = (\Sigma, N, P, S)$ назовем следующую величину:

$$|G| = |N| + \sum_{p \in P} \text{length}(p)$$

Для тестов использовался ПК со следующими характеристиками: MS Windows 10 x64, Intel(R) Core(TM) i7-4790 CPU @ 3.60 GHz 4 Cores, 16GB.

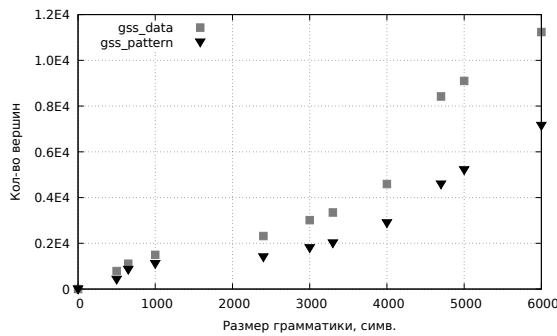


(a) Время работы

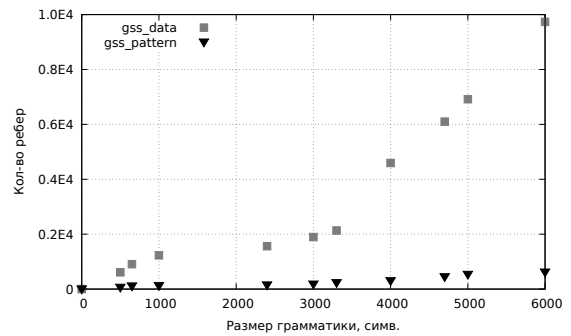


(b) Кол-во дескрипторов

Рис. 2: Зависимость времени работы и кол-ва дескрипторов от размера входной грамматики



(a) Кол-во вершин



(b) Кол-во ребер

Рис. 3: Зависимость размера построенных GSS от размера входной грамматики. Для обозначения GSS, соответствующего грамматике G_1 , используется метка *gss_pattern*, входной грамматике — *gss_data*

Результаты тестирования показывают, что даже в случае поиска простого шаблона время работы алгоритма быстро возрастает при увеличении размеров грамматики, представляющей данные. Предположительно, производительность может быть улучшена путем технической доработки используемых структур данных и самого алгоритма. Помимо этого, влияние на работу алгоритма может оказывать не только размер входной грамматики, но и ее структура, которая зависит от используемого алгоритма сжатия.

Заключение

В ходе данной работы получены следующие результаты.

- Определены ограничения, при которых синтаксический анализ контекстно-свободного представления является разрешимой задачей. Было показано, что грамматика, являющаяся представлением данных, должна порождать конечный язык.
- Разработан алгоритм синтаксического анализа КС-представления, учитывающий поставленные ограничения. Полученный алгоритм является модификацией алгоритма синтаксического анализа графов на основе GLL.
- Выполнена реализация алгоритма на языке программирования F# в рамках исследовательского проекта YaccConstructor.
- Проведено экспериментальное исследование: выполнено тестирование производительности на синтетических данных.

В дальнейшем планируется провести апробацию алгоритма на реальных данных — сжатом представлении ДНК организмов — и доказать теоретическую оценку сложности алгоритма.

Исходный код проекта YaccConstructor представлен на сайте <https://github.com/YaccConstructor/YaccConstructor>.

Список литературы

- [1] Afroozeh Ali, Izmaylova Anastasia. Faster, Practical GLL Parsing // Compiler Construction: 24th International Conference, CC 2015, Held as Part of the European Joint Conferences on Theory and Practice of Software, ETAPS 2015, London, UK, April 11-18, 2015, Proceedings / Ed. by Björn Franke. — Berlin, Heidelberg : Springer Berlin Heidelberg, 2015. — P. 89–108. — ISBN: 978-3-662-46663-6. — URL: http://dx.doi.org/10.1007/978-3-662-46663-6_5.
- [2] Arimura Mitsuharu. A grammar-based compression using a variation of Chomsky normal form of context free grammar // 2016 International Symposium on Information Theory and Its Applications (ISITA). — 2016.
- [3] Gallé Matthias. Searching for Compact Hierarchical Structures in DNA by means of the Smallest Grammar Problem : Theses / Matthias Gallé ; Université Rennes 1. — 2011. — Feb. — URL: <https://tel.archives-ouvertes.fr/tel-00595494>.
- [4] Gorokhov Artem, Grigorev Semyon. Extended Context-Free Grammars Parsing with Generalized LL. — 2017.
- [5] Harrison M. A. Introduction to Formal Language Theory. — 1st edition. — Boston, MA, USA : Addison-Wesley Longman Publishing Co., Inc., 1978. — ISBN: 0201029553.
- [6] Nederhof Mark-Jan, Satta Giorgio. The Language Intersection Problem for Non-recursive Context-free Grammars // Inf. Comput. — 2004. — Aug. — Vol. 192, no. 2. — P. 172–184. — URL: <http://dx.doi.org/10.1016/j.ic.2004.03.004>.
- [7] Nevill-Manning Craig G., Witten Ian H. Identifying Hierarchical Structure in Sequences: A Linear-time Algorithm // J. Artif. Int. Res. — 1997. — Sep. — Vol. 7, no. 1. — P. 67–82. — URL: <http://dl.acm.org/citation.cfm?id=1622776.1622780>.

- [8] Quantifying variances in comparative RNA secondary structure prediction / James WJ Anderson, Ádám Novák, Zsuzsanna Sükösd et al. // BMC Bioinformatics. — 2013. — Vol. 14, no. 1. — P. 149. — URL: <http://dx.doi.org/10.1186/1471-2105-14-149>.
- [9] Scott Elizabeth, Johnstone Adrian. GLL parsing // Electronic Notes in Theoretical Computer Science. — 2009. — Vol. 253, no. 7.
- [10] Sequitur [Электронный ресурс]. — URL: <https://github.com/craignm/sequitur> (online; accessed: 25.05.2017).
- [11] Tellier Isabelle. Learning recursive automata from positive examples // Revue des Sciences et Technologies de l'Information-Série RIA: Revue d'Intelligence Artificielle. — 2006. — Vol. 20, no. 6. — P. 775–804.
- [12] Григорьев С. В. Синтаксический анализ динамически формируемых программ : Дисс... кандидата наук / С. В. Григорьев ; Санкт-Петербургский государственный университет. — 2015.

Приложение

Псевдокод алгоритма синтаксического анализа графов

Пусть (C_S, C_U, i, l) — текущий дескриптор, где C_S — состояние рекурсивного автомата, представляющего грамматику, C_U — вершина GSS, i — вершина входного графа, l — длина разобранный части строки. Для получения имени нетерминала грамматики, соответствующего состоянию автомата используется функция $\Delta : Q \rightarrow N$.

Во время работы алгоритма поддерживаются следующие множества: R — глобальная очередь дескрипторов, U — множество созданных ранее дескрипторов, P — множество, хранящее информацию о вызовах функции **pop**.

```
function ADD( $S, u, i, l$ )
  if  $((S, u, i, l) \notin U)$  then
     $U.add(S, u, i, l)$ 
     $R.enqueue(S, u, i, l)$ 

function CREATE( $S_{call}, S_{next}, u, i, l$ )
   $A \leftarrow \Delta(S_{call})$ 
  if  $(\exists \text{ GSS node labeled } (A, i))$  then
     $v \leftarrow \text{GSS node labeled } (A, i)$ 
    if  $(\text{there is no GSS edge from } v \text{ to } u \text{ labeled } (S_{next}, l))$  then
      add GSS edge from  $v$  to  $u$  labeled  $(S_{next}, l)$ 
      for  $((v, j, m) \in P)$  do
        if  $(S_{next} \text{ is a final state})$  then
          POP( $u, j, (l + m)$ )
          ADD( $S_{next}, u, j, (l + m)$ )
    else
       $v \leftarrow \text{new GSS node labeled } (A, i)$ 
      create GSS edge from  $v$  to  $u$  labeled  $(S_{next}, l)$ 
      ADD( $S_{call}, v, i, 0$ )
```

```

function POP( $u, i, l$ )
  if ( $(u, i, l) \notin P$ ) then
     $P.add(u, i, l)$ 
    for all GSS edges  $(u, S, m, v)$  do
      if ( $S$  is a final state) then
        POP( $v, i, (l + m)$ )
        ADD( $S, v, i, (l + m)$ )

function PARSE( $RA, input$ )
   $GSSroot \leftarrow newGSSnode(RA.StartState, input.StartState)$ 
   $R.enqueue(RA.StartState, GSSroot, input.StartState, 0)$ 
  while  $R \neq \emptyset$  do
    ( $C_S, C_U, i, l$ )  $\leftarrow R.dequeue()$ 
    if ( $l = 0$ ) and ( $C_S$  is a final state) then
      POP( $C_U, i, 0$ )
    for each  $transition(C_S, label, S_{next})$  do
      switch  $label$  do
        case  $Terminal(x)$ 
          for each ( $input[i] \xrightarrow{x} input[k]$ ) do
            if ( $S_{next}$  is a final state) then
              POP( $C_U, k, (l + 1)$ )
            if  $S_{next}$  have multiple ingoing transitions then
              ADD( $S_{next}, C_U, k, (l + 1)$ )
            else
               $R.enqueue(S_{next}, C_U, k, (l + 1))$ 
        case  $Nonterminal(S_{call})$ 
          CREATE( $S_{call}, S_{next}, C_U, i, l$ )
   $result \leftarrow \emptyset$ 
  for each  $(u, i, l) \in P$  where  $u = GSSroot, i = input.FinalState$  do
     $result.add(l)$ 
  if  $result \neq \emptyset$  then return  $result$ 
  else report failure

```